

# 시변 채널에서 단일 비트 ADC 를 활용한 다중입출력 시스템의 우도함수 분산 추정

김재민, 김태경  
가천대학교,

0224kjm@gmail.com, tkkim@gachon.ac.kr

## Variance Estimation of the Likelihood Function for MIMO systems using One-bit ADCs in Time-Varying Channel

Kim Jae Min and Kim Tae-Kyoung  
Gachon University

### 요 약

본 논문은 다중입출력 시스템에 적용된 단일 비트(one-bit) 아날로그-디지털 변환기(Analog-to-Digital Converter, ADC)를 사용하는 환경에서, 수신된 데이터(data)의 샘플(sample)을 활용하는 강화학습 기반 검출기의 복잡도를 줄이는 방법을 연구한다. 특히, 강화학습에서 최적 정책(optimal policy)을 결정하는 데 필요한 우도 함수(likelihood-function)의 초기 분산 추정 과정에서, 기존에 필요했던 채널 생성기 대신 파일럿 신호를 사용함으로써 수신기의 복잡도를 낮췄다.

### I. 서론

최근 무선 통신 분야에서는 사용 주파수 대역의 상승으로 인해 수신기의 전력 요구량이 증가하는 추세이다. 이러한 상황에서 단일 비트(one-bit) 아날로그-디지털 변환기(Analog-to-Digital Converter, ADC)의 사용은 전력 소모를 줄이는 효과적인 해결책이다 [1]. 단일 비트 ADC 가 사용되는 시변 채널 다중입출력 시스템에서, 강화학습을 적용하면 수신된 샘플(sample)을 효율적으로 사용하여 수신기의 검출 오류율을 낮출 수 있다 [3]. 그러나, 강화학습의 최적정책(optimal policy)을 구하기 위해서는 우도 함수(likelihood-function)의 초기 분산 정보 추정이 필요하다. 이를 위해 수도(pseudo) 채널 생성이라는 과정을 필요로 하며, 이는 수신기의 복잡도를 증가시킨다. 본 논문에서는 이러한 문제를 해결하기 위해 파일럿 신호만을 사용하여 우도 함수의 초기 분산 정보를 추정하는 방법을 제안한다. 이 방법은 기존의 수도 채널 생성 과정을 배제하고 초기 분산 추정 과정에 필요한 연산을 줄이면서, 수신기의 복잡도를 낮추었다.

### II. 본론

#### A. 시스템 모델

본 논문에서는 시변 채널에서  $N_t$  개의 전송 안테나와  $N_r$  개의 수신 안테나로 구성되고, 단일 비트 ADC 가 사용되는 다중입출력 시스템을 고려한다. 전송 프레임(Transmission Frame)은 1 개의 파일럿(Pilot) 구간과  $D$  개의 데이터 구간으로 구성되어 있고, 길이는 각각  $N_p$ ,  $N_d$  이다. 전송 구간에서 송신단은 정보 비트(Information bits)들을  $K$ 개의 M-QAM 심볼(symbol) 후보군 중 하나  $x_k \in \mathcal{C}^{N_r \times 1}$  로 맵핑(mapping)한다  $k \in \{1, 2, \dots, K\} = K$ . 시간 슬롯(time slot)이  $n$ 일 때 송신단이 전송한 심볼을  $x[n]$  이라 하면, 시변 채널  $H^{(n)} \in \mathcal{C}^{N_r \times N_t}$

과 단일 비트 ADC 에 의해 수신단의 수신신호  $y[n] \in \mathcal{C}^{N_r \times 1}$  은 다음과 같다.

$$y[n] = \text{sign}(\text{Re}\{H^{(n)}x[n] + z[n]\}) + j\text{sign}(\text{Im}\{H^{(n)}x[n] + z[n]\}). \quad (1)$$

함수  $\text{sign}(\cdot)$  은 1 보다 크면 1 을, 그 외에는 0 을 대응시키는 함수이고,  $z[n] \in \mathcal{C}^{N_r \times 1}$  은 복소수 가우시안 잡음(Gaussian noise)으로 평균은 0 이고 분산은  $\sigma^2$  이다. 시변 채널  $H^{(n)}$  은 가우시안-마르코프 과정 (Gaussian-Markov process) 모델을 따라 다음과 같이 모델링된다.

$$H^{(n)} = \epsilon H^{(n-1)} + \sqrt{1 - \epsilon^2} \Delta^{(n)}. \quad (2)$$

$\epsilon \in [0, 1]$  은 채널 상관 계수(correlation coefficient)이고,  $\Delta^{(n)} \in \mathcal{C}^{N_r \times N_t}$  은 채널 진화 행렬(channel evolution matrix)로 각 원소의 평균은 0, 분산은 1 이다. 위 사실에 근거해서 전송된 심볼의 실수표현  $\bar{x}[n] = [\text{Re}\{x^T[n]\}, \text{Im}\{x^T[n]\}]^T$  및 잡음의 실수표현  $\bar{z}[n] = [\text{Re}\{z^T[n]\}, \text{Im}\{z^T[n]\}]^T$  과 채널의 실수표현 행렬

$$\bar{H}^{(n)} = \begin{bmatrix} \text{Re}\{H^{(n)}\} & -\text{Im}\{H^{(n)}\} \\ \text{Im}\{H^{(n)}\} & \text{Re}\{H^{(n)}\} \end{bmatrix} \quad (3)$$

을 이용해서 수신신호의 실수표현  $\bar{y}[n] \in \mathcal{C}^{2N_r \times 1}$  을 다음과 같이 나타낼 수 있다.

$$\bar{y}[n] = \text{sign}(\bar{H}^{(n)}\bar{x}[n] + \bar{z}[n]). \quad (4)$$

본 논문에서는 전송된 심볼을 검출할 때 검출 오류를 최소화하기 위해 최대 사후 (Maximum-a-posterior, MAP) 검출기를 사용한다. 수신신호  $y[n]$  이 주어지면, 각 심볼의 전송 확률이 모두 같다는 가정하에  $\{x_k\}$  의 사후 확률은 다음과 같이 계산된다.

$$P(x[n] = x_k | y[n]) = \frac{P(y[n]|x[n] = x_k)}{\sum_{j \in K} P(y[n]|x[n] = x_j)}. \quad (5)$$

따라서 최대 사후 검출기는 우도함수  $P(y[n]|x[n] = x_k)$  를 계산한다.  $a_i$  가 벡터  $a$  의  $i$  번째 원소라 하자. 본문에서 고려하는 시스템에 의하면 모든  $i \in \{1, 2, \dots, 2N_r\} = I$  에 대해 확률  $P(\bar{y}_i[n] \geq 0 | x[n] = x_k)$  를 계산하여 우도함수를 구할 수 있다 [2].  $P(\bar{y}_i[n] \geq 0 | x[n] = x_k)$  를 시간  $n$  에서의  $(i, k)$  번째 우도함수  $p_{i,k}^{(n)}$  라고 하면  $p_{i,k}^{(n)}$  는 다음과 같다.

$$p_{i,k}^{(n)} = \Phi\left(\frac{(\bar{\mathbf{h}}_i^{(n)})^T \bar{x}_k}{\sqrt{\sigma^2/2}}\right). \quad (6)$$

$\Phi(\cdot)$  은 정규 확률 변수의 누적분포 이고  $(\bar{\mathbf{h}}_i^{(n)})^T$  은  $\bar{\mathbf{H}}^{(n)}$  의  $i$  번째 행이다.

파일럿 신호로 추정된 채널을  $(\hat{\mathbf{h}}_i^p)^T$  이라 하면,  $(\hat{\mathbf{h}}_i^p)^T$  와 식 (6)으로부터 우도함수 초기 추정  $\hat{p}_{i,k}^{(0)}$  를 얻을 수 있다. 하지만 시변 채널에 의해  $\hat{p}_{i,k}^{(0)}$  의 오차는 점차 증가한다. 이를 해결하기 위해 [3]에서는 수신된 샘플을 활용한 강화학습 검출기를 제안했다. 이때 최적 정책을 결정하려면 우도 함수 분산의 초기 추정이 필요하다. 따라서 [3]에서는 수도 채널을 생성하여 새로운 우도 함수 추정들과 원래 추정된 우도함수와의 제곱오차를 사용하는 오프라인 학습 방식을 제안했다. 하지만 이는 수신단의 복잡도를 증가시키는 한계점이 있다.

## B. 제안하는 우도 함수의 분산 추정 방법

이 단원에서는 강화학습 단일 비트 검출기에 필요한 우도함수의 초기 분산 정보를 얻는 방법을 제안한다. [3]에서는 이를 위해  $\hat{p}_{i,k}^{(0)}$  를 실제 우도 함수 정보로 가정하고,  $T$  번의 채널 생성기를 통해 우도 함수 정보를 추정하여 오차 제곱 정보를 얻었다.

본 논문에서도  $\hat{p}_{i,k}^{(0)}$  를 실제 우도 함수 정보라고 가정한다. 하지만, 오차 제곱을 위한 우도 함수는 파일럿 길이에 따라 다르게 얻어지는 채널 추정 정보를 이용한다.  $m (< N_p)$  개의 파일럿 신호를 이용해서 얻은 추정 채널을  $(\hat{\mathbf{h}}_i^m)^T$  이라 하면,  $(\hat{\mathbf{h}}_i^m)^T$  로부터 새롭게 추정된 우도함수는 다음과 같다.

$$\hat{p}_{i,k}^m = \Phi\left(\frac{(\hat{\mathbf{h}}_i^m)^T \bar{x}_k}{\sqrt{\sigma^2/2}}\right) \quad (7)$$

다양한  $m$  에 대해 계산된  $(\hat{\mathbf{h}}_i^m)^T$  과 식 (7) 로 우도함수를 추정하고, 각각의  $\hat{p}_{i,k}^{(0)}$  와 제곱오차들의 평균을 계산하면 우도 함수 초기 분산정보  $\hat{e}_{i,k}^{(0)}$  를 얻을 수 있다.  $\hat{e}_{i,k}^{(0)}$  를 얻는 제안한 방법의 알고리즘은 표 1. 에 요약되어 있다.

표 1. 제안된 방식의 우도함수 분산 추정 방법

| Algorithm 1: The proposed method |  |
|----------------------------------|--|
| 1                                | Estimate $(\hat{\mathbf{h}}_i^p)^T$ for $\forall i \in I$ .  |
| 2                                | Estimate $\hat{p}_{i,k}^{(0)}$ by (6) with $(\hat{\mathbf{h}}_i^p)^T$ for $\forall (i, k) \in (I, K)$ .      |
| 3                                | Initialize $M$ .   |
| 4                                | <b>for</b> $m \in M$ <b>do</b>   |
| 5                                | Compute $(\hat{\mathbf{h}}_i^m)^T$ for $\forall i \in I$ .   |
| 6                                | Obtain $\hat{p}_{i,k}^m$ by (7) with $(\hat{\mathbf{h}}_i^m)^T$ for $\forall (i, k) \in (I, K)$ .            |
| 7                                | <b>end</b>   |
| 8                                | Estimate $\hat{e}_{i,k}^{(0)}$ by $\frac{1}{ M } \sum_{m \in M} (\hat{p}_{i,k}^m - \hat{p}_{i,k}^{(0)})^2$ . |

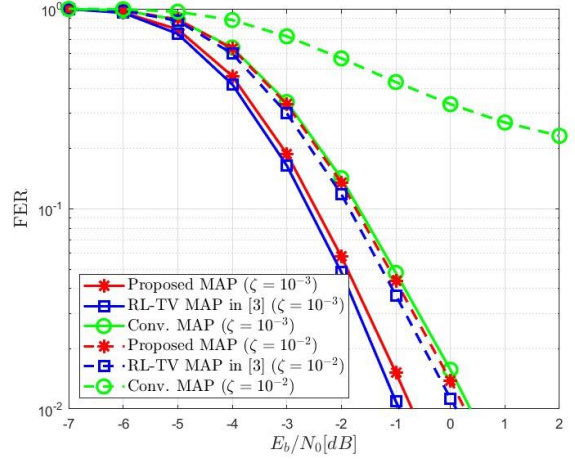


그림 1. 제안된 방식의 FER vs SNR 성능 비교 그래프

## C. 시뮬레이션 결과

시뮬레이션은  $N_t = 4$ ,  $N_r = 8$ ,  $N_p = 32$ ,  $N_d = 128$ ,  $D = 20$ ,  $K = 256$ ,  $\epsilon = \sqrt{1 - \xi^2}$ ,  $M = \{\frac{N_p}{4}, \frac{N_p}{2}, \frac{3N_p}{4}\}$  으로 설정하고, 4QAM 변조방식을 사용한 단일 비트 다중입출력 시스템을 고려했다.

그림 1. 은 1) 본 논문에서 제안한 우도 함수의 분산 추정 방식을 적용한 강화학습 검출기(Proposed MAP), 2) [3]에서 제안된 오프라인 방식을 적용한 강화학습 검출기(RL-TV MAP)로  $T=10$  을 사용하였다. 그리고 3) 초기에 파일럿으로 추정된 우도함수를 이용하는 기본 검출기(Conventional MAP)의 FER(frame error rate) 성능을 비교한 결과를 나타낸다. 그림 1. 에 의하면 제안된 검출기는  $\xi = 10^{-3}$  과  $\xi = 10^{-2}$  에서 모두 기본 검출기보다 향상된 성능을 보인다. 또한 제안된 방법은 기존 강화학습 검출기에 근접한 성능을 보인다. 이는 채널 생성기 없이 이뤄진 결과이며, 채널 및 우도함수 추정과 모든  $i, k$  에 대해 우도함수의 제곱 오차를 연산하는 과정을 10 회에서 3 회로 줄였다.

## III. 결론

본 논문을 통해 단일 비트 다중 입출력 시스템의 강화학습 검출기에 필요한 우도 함수 분산의 초기 추정을 효율적으로 수행함으로써 기존 우도함수 분산 추정 방식의 복잡도를 개선하였다.

## ACKNOWLEDGMENT

본 논문은 2022 년 부처협업형 인재양성사업-반도체전공 트랙 사업의 지원을 받아 수행된 연구임 (P0022199).

## 참고 문헌

- [1] R. H. Walden, "Analog-to-digital converter survey and analysis," *IEEE J. Sel. Areas Commun.*, vol. 17, no. 4, pp. 539-550, Apr. 1999
- [2] J. Choi, J. Mo, and R. W. Heath, Jr., "Near maximum-likelihood detector and channel estimator for uplink multiuser massive MIMO systems with one-bit ADCs," *IEEE Trans. Commun.*, vol. 64, no. 5, pp. 2005-2018, Mar. 2016.
- [3] Y. S. Jeon, N. Lee, and H. V. Poor, "Reinforcement-Learning-Aided Detector for Time-Varying MIMO Systems with One-Bit ADCs," in *Proc. IEEE GLOBECOM'19, Waikoloa, HI*, Dec. 2019.